## 論文 小径コアの圧縮強度の変動に関する基礎的研究

山本 大介\*1 · 廣光 俊海\*2 · 濵田 秀則\*3 · 佐川 康貴\*4

**要旨**:本研究では、一般的に圧縮強度のばらつきが大きい、小径コアを用いた試験方法の測定精度を向上させることを目的に、コンクリートおよびモルタル平板試験体から小径コアを採取し、圧縮強度試験を行った。その結果、小径コアの圧縮強度のばらつきの大きな要因の1つは供試体個々の骨材の内部構成のばらつきにあること、また安定した小径コアの圧縮強度を求めるために必要な供試体本数は11本以上であり、その際小径コアの圧縮強度は $\phi$ 100mm コアに比べて85~87%となることがわかった。

キーワード: 小径コア, 圧縮強度, 端面摩擦, 寸法効果

#### 1. はじめに

高度経済成長期に建設された構造物のストック量は 膨大であり、ほぼ一斉に老朽期に入ることから、これら 構造物を今後どのように維持管理していくかが大きな課 題となっている。構造物に使用されるコンクリートの物 性を表す代表的な指標の1つとして圧縮強度試験値が挙 げられる。圧縮強度を求める際には JIS A 1107 に基づき, 直径が粗骨材の最大寸法の3倍以上となるようコアを採 取する方法が一般的であるが、埋設鉄筋等による採取場 所の制約を受けることが多く、また構造物へ与える損傷 が大きいことが問題となる場合がある。そのため、直径 が小さいコア, すなわち小径コア (φ25mm コア)を用 いることが望ましい場合も多い。小径コア法は微破壊試 験の1手法として、コンクリートの品質管理の有効な方 法として提案されている <sup>1)~5)</sup>。既往の研究では、小径コ ア内の粗骨材の分布に起因する偏心載荷などがその強度 に及ぼす影響について十分に言及されておらず、また端 面処理等の違いが圧縮強度試験値へ及ぼす影響もさらに 検討を重ねる必要があると思われる。小径コアの圧縮強 度はφ100mm コアの圧縮強度に比べばらつきが大きい というデメリットがあるため、安定した圧縮強度を求め ることが難しく、そのために実構造物に対して広く普及 するに至っていないのが実情である。

本研究は、小径コア内の粗骨材分布の影響等に起因する圧縮強度の変動の特性を把握することを目的として、コンクリート及びモルタル平板試験体から小径コアを採取し、圧縮強度のばらつきについて検討を行ったものである。なお、本研究では、新設コンクリートの品質管理として小径コアの圧縮強度試験値を用いることは想定していない。

## 2. 実験概要

## 2.1 配合及び採取方法

表-1 にコンクリートの配合を,表-2 に使用材料の名

		10		, , ,				
粗骨材	水セメント比	細骨材率	単位量(kg/m³)				AE減水剤	AE剤
最大寸法	W/C	s/a	水	セメント	細骨材	粗骨材		$(ml/m^3)$
(mm)	(%)	(%)	W	С	S	G	(8/111/	(1111/111/
20	50	433	165	330	7/10	1150	1031	12

表-1 コンクリートの配合

表-2 使用材料の名称及び物性値

材料	種類・物理的性質				
セメント	普通ポルトランドセメント (密度3. 16g/cm³,比表面積3360cm²/g)				
細骨材	海砂(表乾密度2.58g/cm³,吸水率1.59%)				
粗骨材	砕石 (表乾密度2.91g/cm³, 吸水率0.81%)				
AE減水剤	リグニンスルホン酸系化合物				
AE剤	アルキルエーテル系陰イオン界面活性剤				

打設方向及びコア採取方向

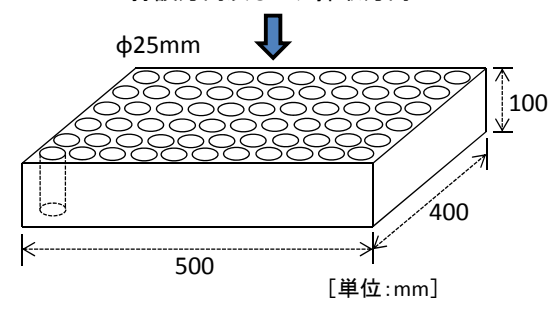


図-1 平板試験体の打設方向及びコアの採取方向

- \*1 九州大学大学院 工学府 建設システム工学専攻 技術職員 (正会員)
- \*2 九州大学大学院 工学府 建設システム工学専攻 修士課程 (学生会員)
- \*3 九州大学大学院 工学研究院 社会基盤部門 教授 博士(工学) (正会員)
- \*4 九州大学大学院 工学研究院 社会基盤部門 准教授 博士(工学) (正会員)

称及び物性値を、図-1 に小径コアを採取したコンクリ ート及びモルタル平板試験体の概念図を示す。小径コア は平板試験体から採取し, φ100mm×200mm の試験体は 円柱型枠を用いて、同一バッチから採取した試料により 作製した。粗骨材の最大寸法は 20mm とした。モルタル 平板試験体には、フレッシュコンクリートを 5mm ふる 100mm 供試体および平板試験体は打設後 28 日間水中養 生を行い、その後 20°Cの気中養生に切替え、材齢 12 ヶ 月で小径コアを採取した。小径コアの採取方向は打設方 向と同じとし, コア採取速度は供試体の側面形状が変化 しないよう約35mm/min.の速度で採取した。

#### 2.2 圧縮強度試験方法

本研究では、コア採取後、端面研磨機で高さ 50mm± 1mm, また供試体両端面の平面度が 1mm 以内となるよ う小径コアを成形し、圧縮強度試験に供した。表-3に圧 縮強度試験の要因別分類を示す。小径コアの圧縮強度試 験時には 40×40×160mm 角柱モルタル用圧縮試験治具を 用いた。端面摩擦が圧縮強度のばらつきに及ぼす影響を 検討するため, ウッドメタルキャッピング, または端面 の両面に減摩材 (厚さ 0.1mm のテフロンシートを 2 枚重 ね)の付与を試みた。その他の条件は JIS A 1108 に準拠 し、圧縮強度試験を行った。また、ひずみゲージを側面 軸方向に2枚対称に貼り付け、圧縮試験時のひずみ計測 を行った。ここで粗骨材もしくはモルタル部のみのひず み計測とならないようにするため、検長 30mm のひずみ ゲージを用いた。

## 3. 試験結果および考察

## 3.1 圧縮強度試験結果

表-4 に圧縮強度試験の試験結果を示す。標本数は φ 100mm 試験体では3本,小径コアでモルタル供試体の場 合は各要因 20 本, 小径コアでコンクリート供試体の場合 は各要因 50 本とした。既往の研究では最弱リンクモデル による寸法効果の影響によって, 供試体の直径が小さく なるほど圧縮強度が高くなる結果も報告されているが <sup>6</sup>, 本研究では、小径コアの圧縮強度は o 100mm 供試体の圧 縮強度より小さくなった。この原因として、既往の研究

においても示されているとおり 7)~9), 小径コアの内部材 料の非均質性が一因であると推察される。 すなわち、幾 何学的非均質度の及ぼす影響が、寸法効果が圧縮強度に 及ぼす影響よりも大きくなったものと考えられる。

#### 3.2 圧縮強度のばらつきの原因

圧縮強度のばらつきの原因は, 供試体個々の大小骨材 の内部構成が影響する自然的なばらつきと, 試験を行う 際に影響する人為的ばらつきに分けて考えることができ る。大小骨材の内部構成が影響する自然的なばらつきと は、コア採取箇所によるモルタルや粗骨材の不均一性か らなるばらつきのことである。人為的なばらつきとは、 載荷速度など供試体成形方法に起因するばらつき,端面 処理の違いに起因するばらつき、また、圧縮時の偏心に より引き起こされるばらつきなどがある。小径コアはそ のサイズの小ささから人為的なばらつきの影響が大きく なりやすいと考えられる。そのため、本研究では、人為 的なばらつきの要因として考えられる平面度,端面摩擦, 偏心載荷に着目し、これらが圧縮強度のばらつきに与え る影響を考察した。また、その他の圧縮強度のばらつき に影響を与えうる諸条件は極力同一となるように注意し つつ、実験を行った。

#### (1) 減摩載荷による圧縮強度のばらつき

テフロンシートは端面摩擦を低減し、 コンクリート内 の応力分布を均一にする効果があり10,材料内の応力の 均一化によって圧縮強度のばらつきの制御に効果がある と期待される。表-4より、モルタル小径コアの圧縮強 度の変動係数は要因 1, 要因 2 に比べ, テフロンシート を用いた要因3は小さくなっていることがわかる。しか し、コンクリートの場合、各要因の間で変動係数に大き な差は見られなかった。

写真-1 に、モルタルおよびコンクリート小径コアの 圧縮破壊後のひび割れ形状を示す。要因1のコンクリー トでは端面は崩壊せず、粗骨材に沿った斜めひび割れが

表-3 圧縮強度試験の要因別分類 要因 試験法の分類 1

キャッピングあり, テフロンシートなし キャッピングなし, テフロンシートなし 2 キャッピングなし、テフロンシートあり 3

表-4 圧縮強度試験結果

	直径	試験要因	標本数 (本)		変動係数			
	旦1至			平均值	最小値	最大値	標準偏差	(%)
	φ100mm	2	3	61.9	61.2	63.2	1.13	1.82
モルタル	φ 25mm	1	20	54.9	47.4	61.0	3.94	7.18
モルダル		2	20	57.4	43.2	64.9	5.21	9.07
		3	20	48.8	42.9	53.4	2.87	5.89
	φ100mm	2	3	49.4	47.1	51.6	2.27	4.60
コンクリート	φ 25mm	1	50	42.1	33.4	56.9	4.93	11.71
12777		2	50	42.7	25.5	54.6	5.08	11.92
		3	50	35.4	25.1	43.5	4.06	11.48

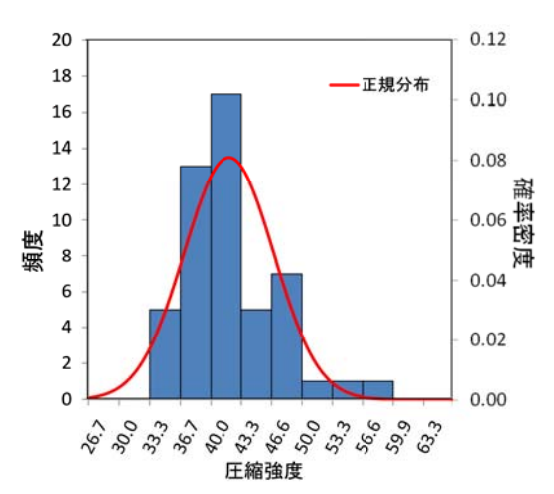








写真-1 モルタル・コンクリート小径コア 圧縮破壊後のひび割れ形状(赤線:ひび割れ)





発生するものが多く見られた。要因3のモルタルの場合, 長軸方向に直線的に入るひび割れが多く見られたが,要因3のコンクリートでは長軸方向ひび割れの多くが粗骨 材界面に沿っており,破壊形状に差が見られた。要因2 は,ひび割れ形状は要因1ほど斜めではないが,要因3 ほど長軸方向ひび割れは多くなかった。

これらより、モルタルの場合は減摩載荷による内部の応力均一化によって圧縮強度のばらつきを抑制しているものの、コンクリートでは、要因3においても粗骨材の影響により内部応力均一化効果が弱くなり、表-4に示すように圧縮強度がばらついたと考えられる。また、モルタルおよびコンクリート双方で、要因3の圧縮強度試験値が小さい結果となった。これは、端面摩擦が小さく、また圧縮応力が供試体内部に比較的均一に作用し、そのため同心円方向に引張応力が働き、圧縮強度が小さくなった11つことが原因と考えられる。

## (2) 小径コアの圧縮強度の正規分布とヒストグラム

図-2 に要因 1, 図-3 に要因 2, 図-4 に要因 3 のコンクリート小径コアの圧縮強度のヒストグラムと最適正規分布を示す。いずれも、変動係数は 11~12%と大きく、また、要因 1, 要因 2 に比べ、テフロンシートを用いて減摩載荷を行った要因 3 の圧縮強度が小さくなっている

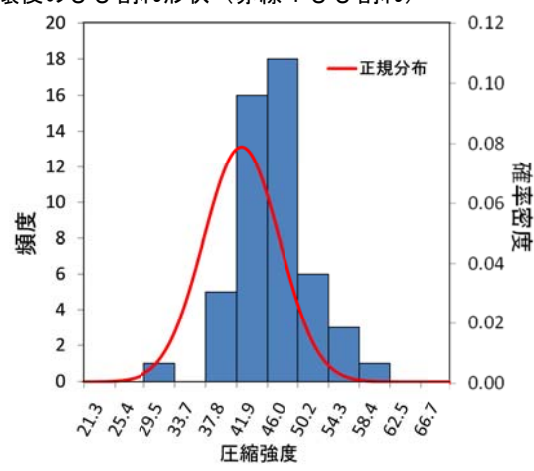


図-3 要因3のヒストグラムと正規分布

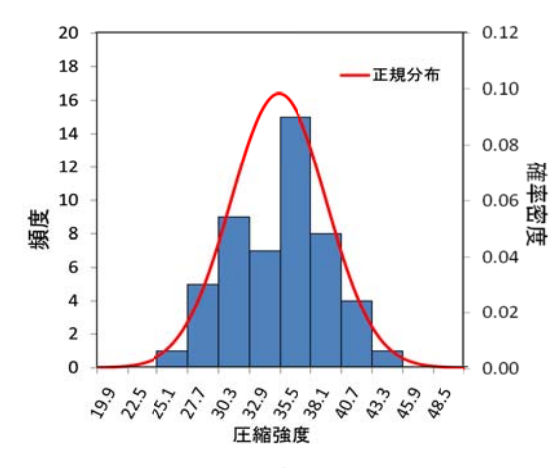


図-4 要因4のヒストグラムと正規分布

が、いずれの分布も正規分布に近い形となっていることがわかる。これらより、小径コアの圧縮強度の分布は正規分布で表すことができる可能性があることがわかった。

## 3.3 圧縮強度と載荷時の平面度の関係

圧縮強度のばらつきに影響を及ぼす原因として載荷時の偏心があり、偏心に影響する要因の一つに平面度が挙げられる。JIS A 1132 では「載荷面の平面度は直径の0.05%以下」とされている。JIS 規定に準拠する場合、φ25mmの小径コアで許容される平面度の誤差は0.013mm

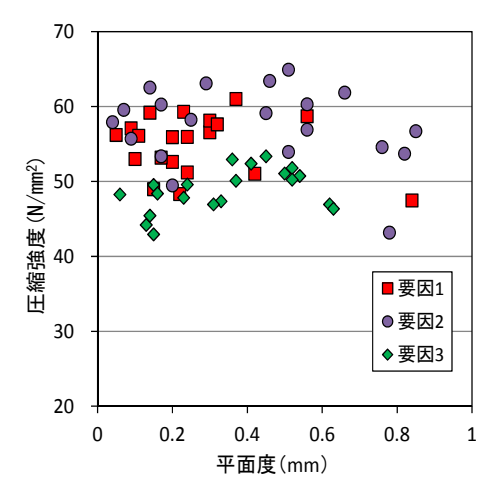


図-5 モルタル小径コアの圧縮強度と平面度の関係

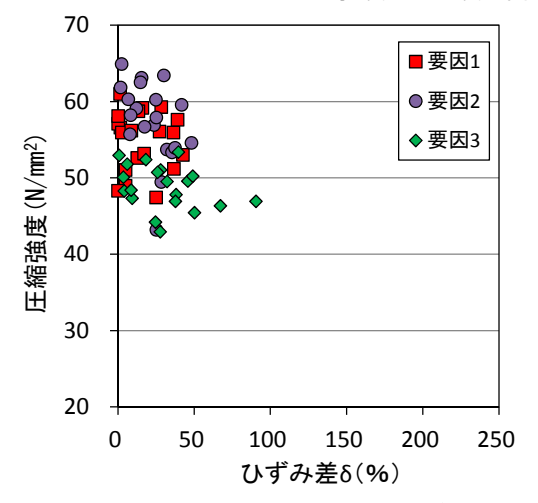


図-7 モルタル小径コアの圧縮強度とひずみ差の関係

以内であり、このような精度での端面成形は困難である。 そこで、本研究では供試体軸方向と供試体端面をほぼ直 角に、また両端面の平面度の許容誤差を 1mm 以内と設 定した上で供試体を端面研磨機にて成形し、小径コア両 端面の平面度が圧縮強度のばらつきに及ぼす影響につい て要因 1、要因 2、要因 3 に基づき検討を行った。

図-5 はモルタル小径コアの圧縮強度と平面度の関係を、図-6 はコンクリート小径コアの圧縮強度と平面度の関係を示す。図-5 において平面度が 0.6mm より大きくなると圧縮強度が低下する傾向が弱いながらも読み取れるが、図-6 に示すコンクリート小径コアの圧縮強度と平面度の関係においてはそのような傾向は見られない。これより、平面度が 1mm 以内であれば、平面度が圧縮強度に及ぼす影響は大きくないと考えることができる。

## 3.4 圧縮強度と載荷時の偏心の関係

偏心載荷が圧縮強度に与える影響を考察するために、偏心の影響を圧縮終局時のひずみを用いて式(1)に示すように数値化することを試みた。圧縮強度試験の最大応力時における 2 枚のひずみゲージのひずみ値の差をひずみ差 $\delta$  とし式(1)のように定義した。

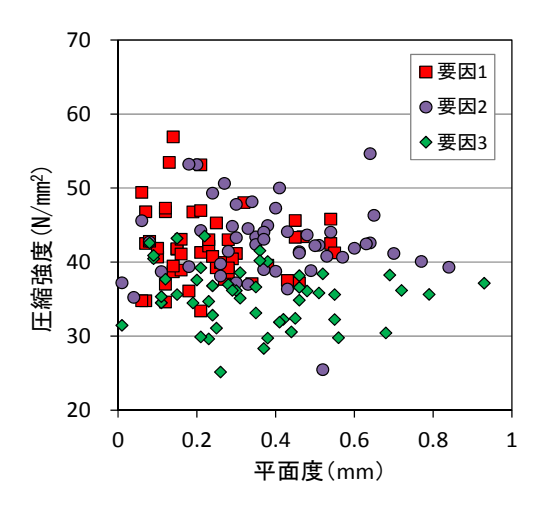


図-6 コンクリート小径コアの圧縮強度と平面度の関係

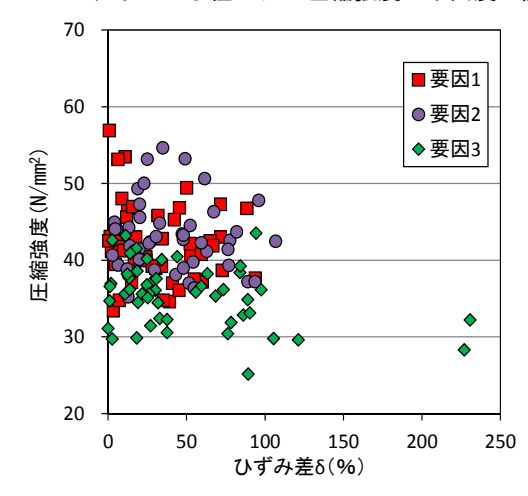


図-8 コンクリート小径コアの圧縮強度とひずみ差の関係

$$\delta = \frac{|\varepsilon_1 - \varepsilon_2|}{\bar{\varepsilon}} \times 100(\%) \tag{1}$$

ここに, δ: ひずみ差 (%)

ε: 最大応力時の平均ひずみ

図-7にモルタル小径コアの圧縮強度とひずみ差 $\delta$ の関係を、図-8にコンクリート小径コア圧縮強度とひずみ差 $\delta$ の関係を示す。図-7および図-8から、コンクリート小径コアのひずみ差 $\delta$ の分布範囲は、モルタルのそれと比べ広いことがわかる。また、粗骨材の影響のないモルタル小径コアにおいても、同程度のひずみ差 $\delta$ で圧縮強度にばらつきが発生することが確認された。また、コンクリート小径コアにおける要因3ではひずみ差 $\delta$ が大きいほど圧縮強度が低くなる傾向が若干見られるものの、要因1と要因2についてはひずみ差と圧縮強度の関連性は確認されなかった。

これより、偏心載荷は圧縮強度に及ぼす影響が多少あると考えられるが、式(1)で定義したひずみ差 $\delta$ のみでは圧縮強度のばらつきを説明できないことがわかった。

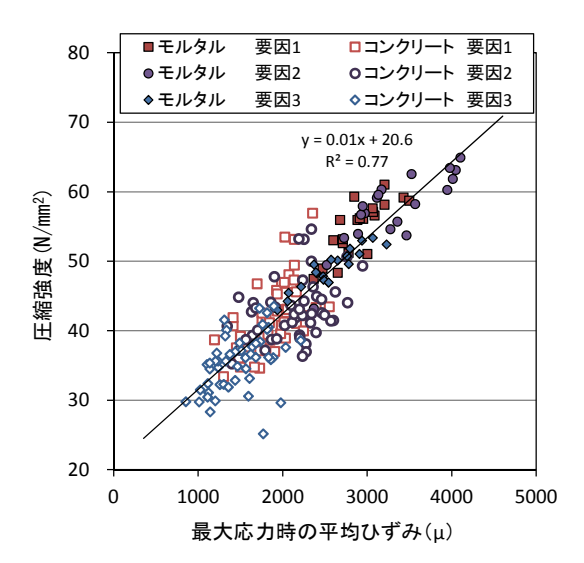


図-9 小径コア (モルタルおよびコンクリート) の 圧縮強度と最大応力時の平均ひずみの関係

#### 3.5 圧縮強度と最大応力時のひずみの関係

図-9にモルタル・コンクリートの要因 1,要因 2,要因 3の小径コア圧縮強度と最大応力時のひずみ(平均値)の関係を示す。図より、小径コアのモルタル・コンクリートの双方において、ばらつきが大きいながらも圧縮強度と最大応力時のひずみに正の相関があることがわかる。また、比較的圧縮強度のばらつきが小さかった要因 3 に着目し、図-10 に要因 3 のみを抽出したモルタル・コンクリートの小径コア圧縮強度と最大応力時のひずみ(平均値)の関係を示す。

本実験のモルタル小径コアは、コンクリートをウエットスクリーニングしたモルタルから作製しており、養生条件も同一とした。そのため、小径コアコンクリート供試体と小径コアモルタル供試体の構成材料の相違は粗骨材を含むか否かのみとなっている。ここで、図-10のような傾向が表れた原因として、以下のことが考えられる。

小径コアに粗骨材が含有されることによって,骨材界面が弱点となり,純モルタル供試体と比較して載荷早期に骨材界面に滑り等の部分的破壊が生じ,ひずみ値が比較的小さい状態で破壊に至ったと推察される。また,小径コアコンクリート供試体では,内部の骨材分布が最大応力時のひずみに大きく影響し,そのために圧縮強度が大きくばらついたと考えられる。

## 4. 平均圧縮強度の取り扱いについての考察

## 4.1 外れ値の取り扱いについて

小径コアの圧縮強度の試験値データとして極端に大きな値や極端に小さな値を得ることが多い。そこで式(2)で表される外れ値の検定法としてのスミルノフ・グラブス検定の適用を試みた。

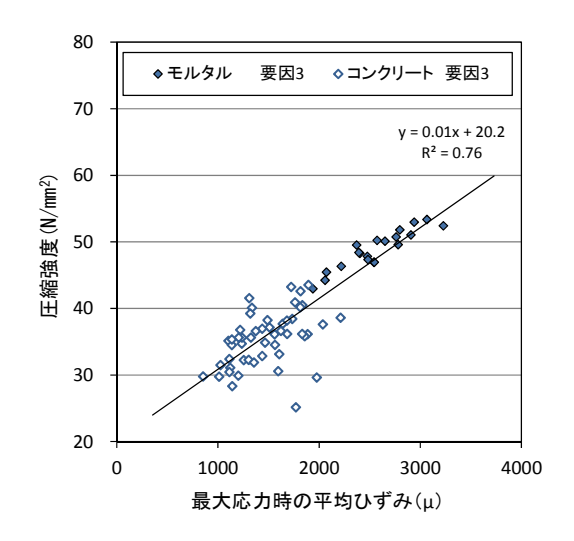


図-10 小径コア要因3の圧縮強度と 最大応力時の平均ひずみの関係

表-5 棄却後の圧縮強度試験結果(コンクリート)

要因	標本数		変動係数			
女凶		平均值	最小値	最大値	標準偏差	(%)
1	49	41.8	33.4	53.5	4.48	10.73
2	49	43.0	35.2	54.6	4.48	10.42
3	50	35.4	25.1	43.5	4.06	11.48

$$Ti = \frac{|Xi - \bar{X}|}{\sqrt{S}} \tag{2}$$

ここに Ti:検定統計量

Xi:外れ値

X: 平均圧縮強度

S:不偏分散

なお,スミルノフ・グラブス検定は,「小径コア試験による新設の構造体コンクリート強度測定要領(案)」で提案されている棄却検定法である<sup>2)</sup>。

式(2)より得られた統計量から、決められた有意水準の 検定量を超えたとき、その値は外れ値として棄却すると いう考え方であり、ある試験データを棄却した後、残り のデータを対象に棄却するデータがなくなるまで繰り返 し検定を行う。

本研究内においては、有意水準を5%と設定し、棄却 検定を行った。表-5に棄却後のコンクリート小径コア の圧縮強度試験結果を示す。要因1の圧縮強度の最大値 が1本、また要因2の圧縮強度の最小値が1本棄却対象 となった。

# 4.2 モンテカルロ法を用いた圧縮強度のばらつきを 抑えるために必要な供試体本数の算出

モンテカルロ法を適用し、コンクリート小径コアにより得られた各要因の49本もしくは50本の圧縮強度試験値から、重複しないようにしつつ無作為抽出を行った。 供試体抽出本数は1本から20本までと設定した。この無

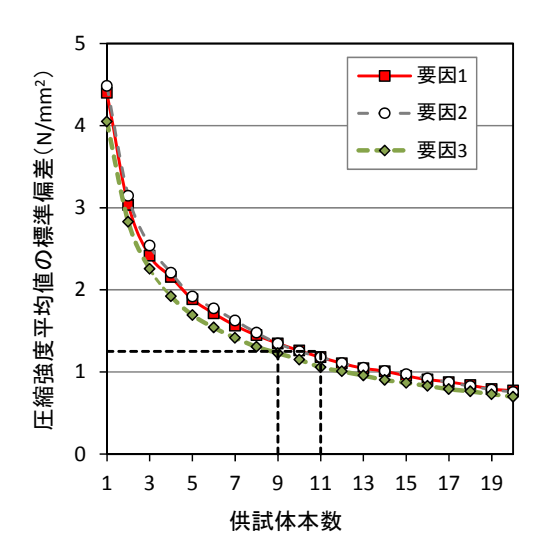


図-11 目標標準偏差を満足するときの必要 供試体本数(モンテカルロ法を利用)

作為抽出作業を 1000 回試行し,抽出された圧縮強度試験 値の平均値 (1 本から 20 本まで) の標準偏差を求めた。 図-11 に抽出供試体本数による圧縮強度平均値の標準偏差と,抽出した供試体本数の関係を示す。

ここで、許容誤差範囲を  $5.0 \text{N/mm}^2$ 、つまり小径コアの 圧縮強度の平均値から  $\pm 2.5 \text{N/mm}^2$  とし、小径コアによる 圧縮強度試験結果が正規分布に則ると仮定すると、 平均値  $\mu$  、標準偏差を  $\sigma$  としたとき、 有意水準を 5% ととった時の信頼区間は約  $\mu$   $\pm 2 \sigma$  となる。 すなわち、  $\sigma$  =1.25 のとき、95%の確率で平均値から  $\pm 2.5 \text{N/mm}^2$  以内の圧縮強度の平均値が得られるになる。

図ー11 より、要因 1、要因 2 が  $\sigma$  =1.25 となるのは約 11 本の時である。要因 3 については圧縮強度のばらつきが比較的小さかったため、同精度に必要な供試体本数は 9 本となった。また、このときの要因 1 および要因 2 の小径コアの圧縮強度は  $\phi$  100mm 試験体の圧縮強度の 85 ~87%となった。

なお、本論文による必要供試体本数の算出は本研究内 の限られた供試体条件による結果であるため、今後更な るデータの蓄積が望まれる。

## 5. 結論

以上、示した実験結果より以下の結論を得た。

- (1) 小径コアにおいて発生する強度試験のばらつきは、 粗骨材やモルタル部などの材料の不均質性から発 生するものと考えられる。
- (2) モルタル, コンクリートともに小径コア圧縮強度試験値のばらつきは正規分布に従うことがわかった。
- (3) 小径コアの平面度が 1mm 以内であれば圧縮強度に 及ぼす影響は小さいことが確認された。
- (4) 偏心の影響を数値化したひずみ差δと圧縮強度の

間には明確な相関関係は見られなかった。

- (5) 供試体個々の内部骨材のばらつきは,最大応力時の 平均ひずみや圧縮強度試験値に影響する可能性が ある。
- (6) 本研究内においては、小径コアの圧縮強度を求める ために必要な供試体数は11本以上と算出された。そ の際、小径コアの圧縮強度は  $\phi$  100mm コアの圧縮強 度に比べて85~87%となると計算された。

#### 参考文献

- 国土交通省大臣官房技術調査課:微破壊・非破壊試験によるコンクリート構造物の強度測定要領(案) (解説), 2009.4
- 2) (株) 銭高組,前田建設工業(株),日本国土開発 (株),(独)土木研究所:小径コア試験による新設 の構造体コンクリート強度測定要領(案),2006.5
- 3) 若林信太郎ほか:小径コアによる構造体コンクリートの強度の推定方法に関する研究(その1小径コア 供試体の圧縮強度試験結果),日本建築学会構造系 論文集,第555号,1-8,2002.5
- 4) 若林信太郎ほか:小径コアによる構造体コンクリートの強度の推定方法に関する研究(その2構造体コンクリート強度推定式の設定),日本建築学会構造系論文集,第561号,9-16,2002.11
- 5) 佐原晴也他:試験方法の違いが小径コアの圧縮強度 に及ぼす影響,土木学会第61回年次学術講演会講 演概要集,pp1105-1106,2006
- K.Omine, H.Ochiai, N.Yasuhuku, N.Hayashi: Evaluation of the size effect on the strength of cement-treated soils, The Geotechnics of Hard Soils, Vol.2, pp.751-760, 1998.10
- 7) 谷川恭雄, 山田和夫: コンクリートの圧縮強度の寸 法効果について,日本建築学会論文報告集,pp13-21, 第 262 号, 1977.12
- 8) 清水厚年ほか:コアの寸法の違いによる試験値の差に対する各種要因の影響,コンクリート工学年次論 文集,Vol.30,No.2,2008.7
- 9) 大池武,川口徹:直径の異なるコア供試体の強度試験結果の信頼性に関する検討,日本建築学会技術報告集,第15号,pp.43-46,2002.6
- 10) 小坂義夫ほか:各種の減摩材を用いた場合の圧縮供 試体端面の応力分布について,コンクリート工学年 次論文集, Vol.2, No.1, pp.121-124, 2001.6
- 11) 改定新版コンクリート工学ハンドブック, 岡田清, 六車熙, 朝倉書房, pp.378-379